

# Controllo e stabilizzazione del pendolo inverso

## Progetto di Controlli Automatici

`lorenzo.casavecchia@students.uniroma2.it`

Ingegneria Informatica  
Robotica e automazione

A.A. 22 / 23



**TOR VERGATA**  
UNIVERSITY OF ROME

School of Engineering

- 1 Descrizione dell'impianto
- 2 Linearizzazione dell'impianto
- 3 Design del controllore
- 4 Altri elementi dello schema di controllo
- 5 Modello Simulink e la swing-up-maneuver
- 6 File e risorse utilizzate

# Descrizione dell'impianto

## Variabili del sistema e diagramma

$$\begin{cases} x_1 = x_0 + \frac{L_1}{2} \sin(\theta_1) \\ y_1 = \frac{L_1}{2} \cos(\theta_1) \end{cases}$$

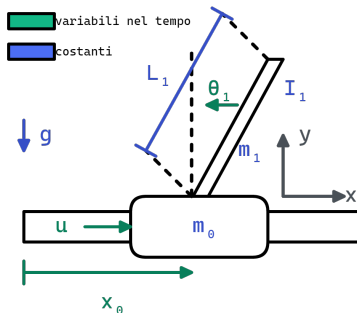


Figura 1:  $u$  è una forza esterna (attuabile) che agisce sul carrello

## Derivazione della dinamica del sistema via Lagrange

$$\begin{cases} \text{Energia cinetica} = \mathcal{K} = \frac{1}{2} (m_0 \dot{x}_0^2 + m_1 \dot{x}_1^2 + m_1 \dot{y}_1^2 + I_1 \dot{\theta}_1^2) \\ \text{Energia potenziale} = \mathcal{P} = m_1 g y_1 \\ \text{Forze esterne} = u \text{ sul carrello, } 0 \text{ sul pendolo} \end{cases}$$

Per ottenere la dinamica risolviamo

$$\begin{cases} \mathcal{L} = \mathcal{K} - \mathcal{P} \\ \partial_t \partial_{\dot{x}_0} \mathcal{L} - \partial_{x_0} \mathcal{L} = u \\ \partial_t \partial_{\dot{\theta}_1} \mathcal{L} - \partial_{\theta_1} \mathcal{L} = 0 \end{cases}$$

rispetto a  $\ddot{x}_0, \ddot{\theta}_1$

## Equazioni della dinamica del sistema

$$\begin{aligned}\ddot{x}_0 &= \frac{\sin(\theta_1)L_1^3m_1^2\dot{\theta}_1^2 - 2g\cos(\theta_1)\sin(\theta_1)L_1^2m_1^2 + 2uL_1^2m_1u}{2(-L_1^2m_1^2\cos(\theta_1)^2 + L_1^2m_1^2 + m_0L_1^2m_1 + 4I_1m_1 + 4I_1m_0)} \\ &\quad + \frac{4I_1\sin(\theta_1)L_1m_1\dot{\theta}_1^2 + 8I_1}{2(-L_1^2m_1^2\cos(\theta_1)^2 + L_1^2m_1^2 + m_0L_1^2m_1 + 4I_1m_1 + 4I_1m_0)} \\ \ddot{\theta}_1 &= -\frac{L_1m_1(L_1m_1\cos(\theta_1)\sin(\theta_1)\dot{\theta}_1^2 + 2u\cos(\theta_1))}{-L_1^2m_1^2\cos(\theta_1)^2 + L_1^2m_1^2 + m_0L_1^2m_1 + 4I_1m_1 + 4I_1m_0} \\ &\quad + \frac{L_1m_1(-2gm_0\sin(\theta_1) - 2gm_1\sin(\theta_1))}{-L_1^2m_1^2\cos(\theta_1)^2 + L_1^2m_1^2 + m_0L_1^2m_1 + 4I_1m_1 + 4I_1m_0}\end{aligned}$$

Introducendo variabile di stato  $Q = [x_0, \theta_1, \dot{x}_0, \dot{\theta}_1]$ , si può descrivere il modello con un sistema del primo ordine  $\dot{Q} = f(Q, u)$

- 1 Descrizione dell'impianto
- 2 Linearizzazione dell'impianto**
- 3 Design del controllore
- 4 Altri elementi dello schema di controllo
- 5 Modello Simulink e la swing-up-maneuver
- 6 File e risorse utilizzate

# Linearizzazione dell'impianto

## Scelta del punto di lavoro

Il sistema è **fortemente non lineare**: linearizziamo la dinamica attorno un punto di equilibrio

$$\begin{cases} x_0 = \star \\ \theta_1 = 0 \\ \dot{x}_0 = 0 \\ \dot{\theta}_1 = 0 \end{cases} \rightarrow \begin{cases} \dot{x}_0 = 0 \\ \dot{\theta}_1 = 0 \\ \ddot{x}_0 = \frac{2um_1L_1^2 + 8I_1u}{2(m_0m_1L_1^2 + 4I_1m_0 + 4I_1m_1)} \\ \ddot{\theta}_1 = -\frac{2L_1um_1}{m_0m_1L_1^2 + 4I_1m_0 + 4I_1m_1} \end{cases} \xrightarrow{u=0} \begin{cases} \dot{x}_0 = 0 \\ \dot{\theta}_1 = 0 \\ \ddot{x}_0 = 0 \\ \ddot{\theta}_1 = 0 \end{cases}$$

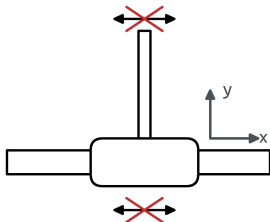


Figura 2: Configurazione d'equilibrio

# Linearizzazione dell'impianto

## Calcolo delle matrici del sistema lineare

Dato il punto di lavoro  $[\tilde{Q}, \tilde{u}]$ , la linearizzazione del sistema  $\dot{Q} = f(Q, u)$  è data da

$$\dot{Q} \approx \nabla_Q f(\tilde{Q})(Q - \tilde{Q}) + \nabla_u f(\tilde{u})(u - \tilde{u})$$

Per il nostro sistema

$$A = \begin{bmatrix} 0 & 0 & 1 & 0 \\ 0 & 0 & 0 & 1 \\ 0 & -\frac{L_1^2 g m_1^2}{m_0 m_1 L_1^2 + 4I_1 m_0 + 4I_1 m_1} & 0 & 0 \\ 0 & \frac{L_1 m_1 (2g m_0 + 2g m_1)}{m_0 m_1 L_1^2 + 4I_1 m_0 + 4I_1 m_1} & 0 & 0 \end{bmatrix}$$

$$B = \begin{bmatrix} 0 \\ 0 \\ \frac{2m_1 L_1^2 + 8I_1}{2(m_0 m_1 L_1^2 + 4I_1 m_0 + 4I_1 m_1)} \\ -\frac{2L_1 m_1}{m_0 m_1 L_1^2 + 4I_1 m_0 + 4I_1 m_1} \end{bmatrix}$$



# Linearizzazione dell'impianto

## Parametri scelti

Scegliamo le stesse costanti usate qui

- $m_0 = 0.455 \text{ kg}$
- $m_1 = 0.21 \text{ kg}$
- $L_1 = 0.61 \text{ m}$
- $I_1 = \frac{1}{3}m_1L_1^2 = 0.0427 \text{ kg} \cdot \text{m}^2$
- $g = 9.81 \frac{\text{N}}{\text{m}}$

e scegliamo che la misura in uscita dal sistema sia  $\theta_1$

$$A = \begin{bmatrix} 0 & 0 & 1 & 0 \\ 0 & 0 & 0 & 1 \\ 0 & -1.5339 & 0 & 0 \\ 0 & 15.9259 & 0 & 0 \end{bmatrix}$$

$$B = \begin{bmatrix} 0 \\ 0 \\ 1.7391 \\ -2.4437 \end{bmatrix}$$

$$C = [0 \quad 1 \quad 0 \quad 0], D = 0$$

## Dallo spazio di stato alla funzione di trasferimento

Note le matrici dello spazio di stato  $A, B, C, D$  la funzione di trasferimento  $P(s)$  dell'impianto è data da

$$P(s) = C(s \cdot 1 - A)^{-1}B + D$$

Con i nostri dati

$$P(s) = \frac{-2.444}{s^2 + 4.41e-16s - 15.93}$$

che quindi possiede due poli in  $\approx \pm 4$

- 1 Descrizione dell'impianto
- 2 Linearizzazione dell'impianto
- 3 Design del controllore**
- 4 Altri elementi dello schema di controllo
- 5 Modello Simulink e la swing-up-maneuver
- 6 File e risorse utilizzate

## Requisiti

- **Requisiti a regime**

- ▶ errore nullo a riferimenti costanti ( $r(t) = R \in \{0, 2\pi, \dots\}$ )

- **Requisiti nel transitorio**

- ▶ Sovra-elongazione  $O_s$  inferiore al 20%
- ▶ Tempo d' assestamento  $S_T$  al 5% inferiore a 2s

Affinché i requisiti a regime siano soddisfatti scegliamo di inserire nel controllore  $C_0(s) = \frac{\mu N_C^*}{s^\rho D_C^*}$  un polo all'origine ( $\rho = 1$ )

$$\lim_{t \rightarrow +\infty} |r(t) - y(t)| = \lim_{s \rightarrow +\infty} \left| s \frac{s^\rho D_C^* D_P}{D_C^* D_P + N_C^* N_P} \frac{R}{s} \right| \sim \lim_{s \rightarrow +\infty} |\alpha s^\rho|$$

dove  $\alpha \in \mathbb{R} \rightsquigarrow \rho \geq 1$

## Controllore PID

Per stabilizzare il sistema usiamo un **controllore PID** con parametri  $K_P, K_I, K_D, N$

$$C(s) = K_P + K_D \cdot \frac{s}{\frac{s}{N} + 1} + \frac{K_I}{s}$$

I parametri

- $K_P = -10$
- $K_I = -15$
- $K_D = -2$
- $N = 100$

stabilizzano l'impianto

36.7	4.73	0.01
8.51	1.0	0
0.422	0.01	0
0.798	0	0
0.01	0	0

Tabella di Routh del denominatore di

$${}_yW_r(s) = \frac{C(s)P(s)}{1 + C(s)P(s)}$$

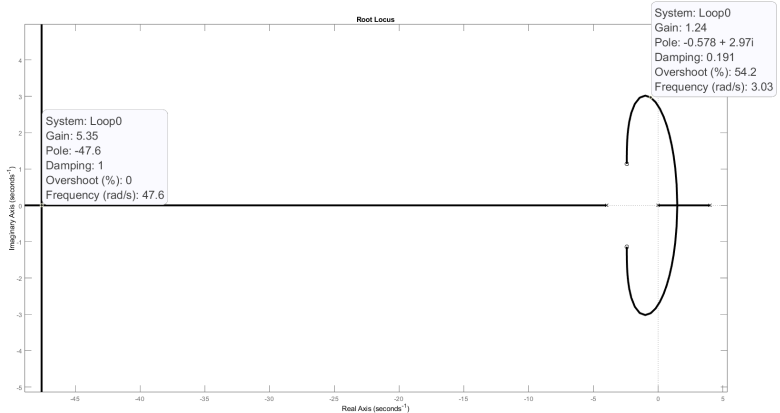


Figura 3: Un guadagno di 5.36 rende i modi più veloci e preserva la stabilità

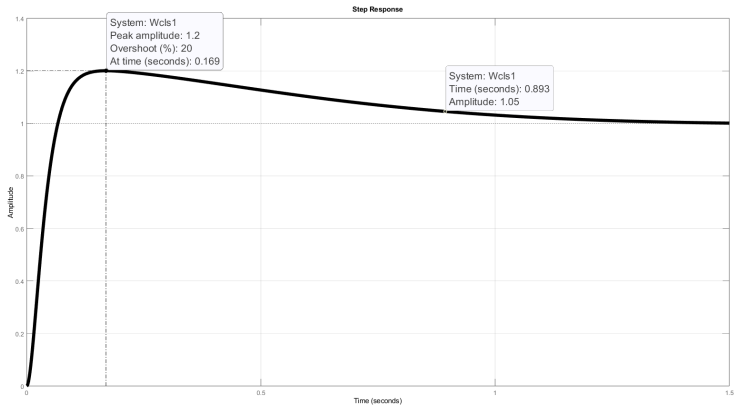


Figura 4: Risposta allo scalino del sistema

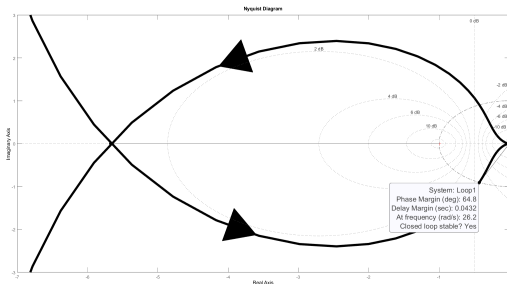
- 1 Descrizione dell'impianto
- 2 Linearizzazione dell'impianto
- 3 Design del controllore
- 4 Altri elementi dello schema di controllo**
- 5 Modello Simulink e la swing-up-maneuver
- 6 File e risorse utilizzate



# Altri elementi dello schema di controllo

## Massimo ritardo ammissibile

Un **puro ritardo**  $e^{-s\varpi}$  ruota in senso orario il diagramma di Nyquist della funzione ad anello  $C(s)P(s)$  di  $\varpi$  radianti



$$\varpi < \frac{\mu_\phi}{\omega_\tau} \approx 0.0432 \text{ s}$$

- $\mu_\phi \approx 64.76 \text{ deg}$  è il margine di fase
- $\omega_\tau \approx 26.18 \frac{\text{rad}}{\text{s}}$  è la pulsazione di taglio

Figura 5: Diagramma di Nyquist della funzione ad anello

# Altri elementi dello schema di controllo

## Filtro sul riferimento

Per migliorare le prestazioni del controllore applichiamo un **filtro sul riferimento**  $F_r(s)$

$$F_r(s) = \frac{1}{\frac{s}{\omega} + 1}$$

dove  $\omega = \frac{3}{T_s} \approx 3.356 \frac{1}{s}$

## Filtro in feed-forward

Con un **filtro in azione feed-forward** tentiamo di rimpiazzare i poli lenti, ma stabili, dell'impianto (polo in  $-4$ ) con dei poli più veloci (avendo usato un polo in  $-100$  per il PID, suppongo di essere in grado di applicare poli fino a  $-100$ )

$$F_f(s) = \frac{\frac{s}{4} + 1}{\frac{s}{75} + 1}$$

# Altri elementi dello schema di controllo

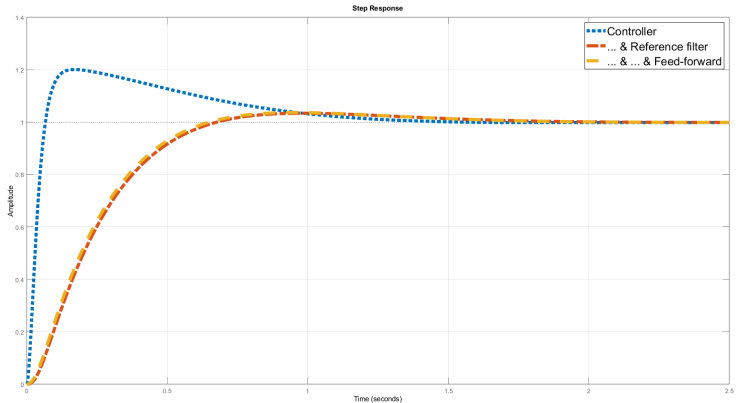


Figura 6: Risposte allo scalino

- 1 Descrizione dell'impianto
- 2 Linearizzazione dell'impianto
- 3 Design del controllore
- 4 Altri elementi dello schema di controllo
- 5 Modello Simulink e la swing-up-maneuver**
- 6 File e risorse utilizzate

# Modello Simulink e la swing-up-maneuver

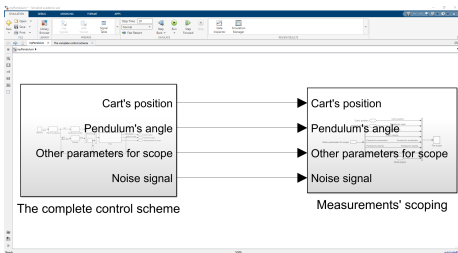


Figura 7: myPendulum

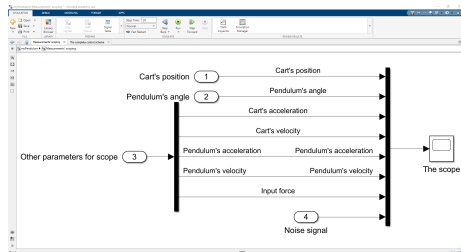


Figura 8:  
myPendulum/Measurements'  
scoping

# Modello Simulink e la swing-up-maneuver

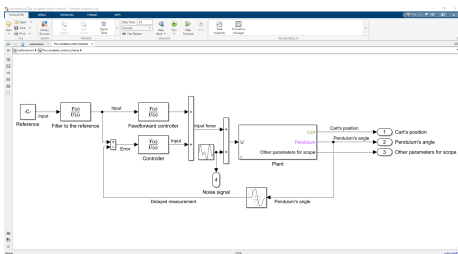


Figura 9: myPendulum/The complete control scheme

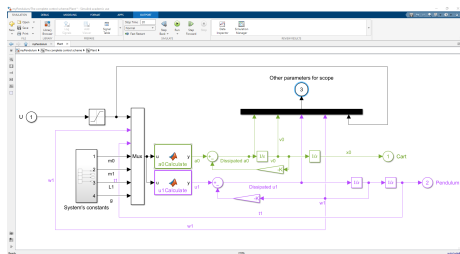


Figura 10: myPendulum/The complete control scheme/Plant

## Parametri per l'istanza d'esecuzione

Per una simulazione fruttuosa della **swing-up-maneuver** impostiamo i seguenti parametri:

- $\theta_1(0) = \pi$  (pendolo verso il basso)
- $r(t) = 2\pi$  (pendolo verso l'alto)
- $\varpi = 0.02 \frac{1}{s}$

## Altri parametri:

- $u(t) \leq 100 \text{ N}$  (saturazione)
- rumore di ampiezza 10N e frequenza a piacere
- $d_0 = 1 \frac{\text{Ns}}{\text{m}}, d_1 = 1 \text{ Ns}$  (dissipazioni)

# Modello Simulink e la swing-up-maneuver

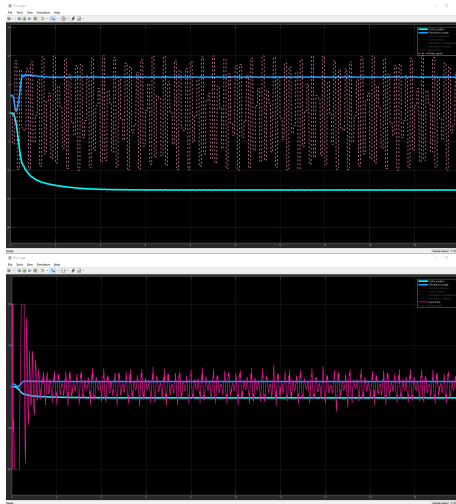


Figura 11: Simulazione della swing-up-maneuver



- 1 Descrizione dell'impianto
- 2 Linearizzazione dell'impianto
- 3 Design del controllore
- 4 Altri elementi dello schema di controllo
- 5 Modello Simulink e la swing-up-maneuver
- 6 File e risorse utilizzate**

- **Derivazione e studio del modello:** `mainForProject.m`
- **Modello Simulink:** `myPendulum.slx`
- **Utilities e file generati:**
  - ▶ `myRouth.m` di Ismail Ilker Delice
  - ▶ `drawEverythingButSignalResponse.m`
  - ▶ `a0Funct.m`
  - ▶ `u1Funct.m`
- **Ispirazione per il progetto:**
  - ▶ Swing-up control of a triple pendulum on a cart with experimental validation
  - ▶ Control Theory: Double Pendulum Inverted on a Cart